

## БИФУРКАЦИИ И КАТАСТРОФЫ В ДИНАМИЧЕСКИХ СИСТЕМАХ С ЦЕНТРАЛЬНОЙ СИММЕТРИЕЙ

Показано, что в случае одного нулевого собственного значения матрицы линеаризации системы смену характера устойчивости особой точки можно связать с бифуркациями, реализующимися в особенностях типа обобщенной сборки Уитни. Результаты изучения флаттерных бифуркаций проиллюстрированы на задаче о перевернутом двухзвенном математическом маятнике со следящей силой на упруго заделанном верхнем конце.

**1. Объект исследования.** Рассмотрим динамические системы с диффеоморфизмом (симметрией) [12]  $g(x) \equiv -x$  (с центральной или простейшей [7] симметрией), содержащие скалярные параметры  $P$  и  $\theta$ :

$$\dot{x} = f(x, P, \theta), \quad x \in R^n, \quad f: R^n \times R_+ \times R \rightarrow R^n, \quad P \in R_+, \quad \theta \in R, \quad (1)$$

причем правые части являются достаточно гладкими нечетными функциями переменных состояния и параметра  $\theta$ :

$$f(-x, P, -\theta) = -f(x, P, \theta). \quad (2)$$

В таких системах при  $\theta = 0$  точка  $x = 0$  с необходимостью является состоянием равновесия. Условие (2) приводит к тому, что тейлоровское разложение функции  $f(x)$  в окрестности значения  $x = 0$  содержит лишь нечетные степени фазовых переменных. Удерживая только главные части нелинейностей, имеем в координатной форме следующие уравнения:

$$\begin{aligned} \dot{x}_i &= \sum_{j=1}^n a_{ij} x_j + \sum_{k=1}^n \sum_{l=1}^n \sum_{m=1}^n a_{klm}^{(i)} x_k x_l x_m + o(|x|^3), \\ a_{ij} &= \text{const}, \quad a_{klm}^{(i)} = a_{kml}^{(i)} = a_{mkl}^{(i)} = \text{const} \quad (i = 1, \dots, n). \end{aligned} \quad (3)$$

**2. Дивергентные бифуркации. Бифуркационные множества и катастрофы стационарных состояний.** Пусть при  $\theta = 0$  и увеличении параметра  $P$  одно собственное значение матрицы линеаризации  $A = \|a_{ij}\|_1^n$  меняется с отрицательного на положительное, тогда как действительные части остальных собственных значений отрицательны. Выражение первого ненулевого ляпуновского [11] коэффициента  $g$ , решающего вопрос устойчивости при  $P = P_{kp}$ , приведено в [7].

Остановимся подробно на случае  $n = 2$ . Особенности приведения случая  $n > 2$  к двумерному проиллюстрированы в [5,6] на задаче о плоскопараллельном движении двухзвенного автопоезда. Для системы

$$\dot{x}_i = f_i(x_1, x_2), \quad (4)$$

где

$$f_i(x_1, x_2) = a_{i1}x_1 + a_{i2}x_2 + a_{111}^{(i)}x_1^3 + 3a_{112}^{(i)}x_1^2x_2 + 3a_{122}^{(i)}x_1x_2^2 + a_{222}^{(i)}x_2^3 + \dots \quad (i = 1, 2), \quad (5)$$

характеристическое уравнение имеет вид  $\lambda^2 + p\lambda + q = 0$ . Пусть точка  $(0, 0)$  является простой особой точкой при  $P < P_{kp}$ , причем  $p > 0$ . Для  $P = P_{kp}$  (тогда  $q = 0, \lambda_2 = -p$ )

вопрос устойчивости решается знаком ляпуновского коэффициента  $g_3$ , который согласно [2,7] для системы (4)-(5) равен:

$$g_3 = \Delta(a_{11}^2 + a_{12}a_{21})^{-3}, \quad \Delta = a_{11}^3(a_{11}a_{222}^{(2)} - a_{21}a_{222}^{(1)}) + 3a_{11}^2a_{12}(a_{21}a_{122}^{(1)} - a_{11}a_{122}^{(2)}) + 3a_{11}a_{12}^2(a_{11}a_{112}^{(2)} - a_{21}a_{112}^{(1)}) + a_{12}^3(a_{21}a_{111}^{(1)} - a_{11}a_{111}^{(2)}). \quad (6)$$

Если  $g_3 < 0$ , то решение  $x_1 = 0, x_2 = 0$  системы (4) асимптотически устойчиво, при  $g_3 > 0$  оно неустойчиво, а для  $g_3 = 0$  необходимо привлекать члены пятого порядка.

Номер ляпуновской величины, отвечающей за устойчивость решения, свяжем с кратностью  $k$  пересечения в особой точке двух кривых, определяющих стационарные режимы (т.е. с кратностью особой точки). Поскольку при критических значениях параметров многообразие стационарных состояний имеет  $k$ -кратную особую точку, то в соответствии с геометрической теорией особенностей [4] оно описывается структурно устойчивыми особенностями типа обобщенной сборки Уитни [1,4]. Для их описания требуется одна фазовая переменная. В подходе А.М. Ляпунова такой переменной является, по существу, критическая переменная. Если усеченную правую часть критического уравнения приравнять нулю, то полученное уравнение, в котором параметры меняются в некоторой окрестности критических значений, будет описывать поверхность соответствующей катастрофы.

Смена характера устойчивости особой точки (и характера опасности границы области устойчивости) происходит с изменением ее кратности, что сопряжено с реализацией особенности более высокого порядка. В случае четной кратности граница опасная, так как при пересечении границы с одной из сторон области особые точки отсутствуют: они рождаются и исчезают парами; при нечетной кратности возможна как опасная, так и безопасная граница.

Применительно к системе (4)-(5) изменение характера устойчивости симметричного решения  $x = 0$  связано с особенностями сборки, "бабочки" и т.д. (нечетная кратность особой точки). При этом сокращается размерность пространства параметров, в которых они реализуются: "бабочка", например, может устойчивым образом реализоваться в трехмерном пространстве параметров.

При условиях теоремы существования неявных функций уравнения  $f_i(x_1, x_2) = 0$  ( $i = 1, 2$ ) определяют на плоскости  $x_1x_2$  в окрестности точки  $(0, 0)$  кривые

$$x_2 = F_1(x_1), \quad x_2 = F_2(x_1), \quad (7)$$

угловые коэффициенты которых  $\gamma_1$  и  $\gamma_2$ . Относительное положение кривых (7) при критическом значении параметра  $P$  определяют величины  $F_1'''(0)$  и  $F_2'''(0)$ . В критическом случае  $\gamma_1 = \gamma_2$ , откуда  $a_{22} = a_{12}a_{21}a_{11}^{-1}$ . Если обозначить

$$g^* = (\gamma_1 - \gamma_2)^{(-)}(F_2'''(0) - F_1'''(0)),$$

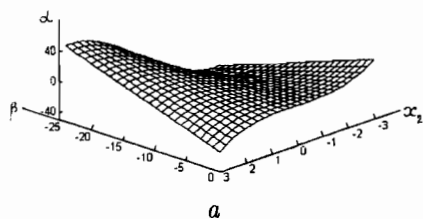
то условием сохранения порядка следования кривых (7) в докритическом и критическом положениях есть  $g^* < 0$ . Здесь индексом  $(-)$  обозначено значение разности  $\gamma_1 - \gamma_2$  в докритическом положении. В [5,6] доказано, что  $g^*g_3 > 0$ . Следовательно, случай асимптотической устойчивости ( $g_3 < 0$ ) точки  $x = 0$  однозначно связывается с сохранением порядка следования кривых (7) при докритическом и критическом значениях параметра ( $g^* < 0$ ), а случай неустойчивости ( $g^* > 0$ ) - с нарушением этого порядка ( $g^* > 0$ ).

При  $k = 3$  смена устойчивости симметричного решения  $x_1 = 0, x_2 = 0$  связана с реализацией в многообразии стационарных состояний трехкратной особой точки (особенность сборки). Аналитическое представление уравнения равновесной поверхности (катастрофы сборки) и ее бифуркационного множества в окрестности симметричного решения при  $P = P_{kp}, \theta = 0$  можно получить путем сведения системы двух уравнений, определяющих стационарные состояния системы (4), к уравнению третьей степени от одной переменной (например,  $x_2$ ) и последующим приравниванием его дискриминанта к нулю. Получим

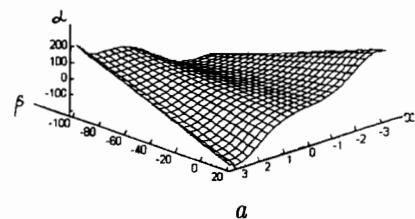
$$\gamma x_2^3 + \beta x_2 + \alpha = 0, \quad (8)$$

где  $\beta = \beta(P, \theta), \alpha = \alpha(P, \theta)$ , причем  $\alpha(P, 0) = 0$  и  $\alpha(P, \theta) \neq 0$ , если  $\theta \neq 0$ .

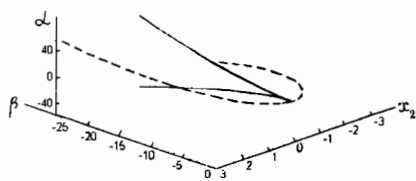
Равновесная поверхность представлена на рис. 1, а, а ее критическое множество и бифуркационное множество (полукубическая парабола) – на рис. 1, б. Критическое множество (штриховая кривая) является множеством кратных точек равновесной поверхности. Бифуркационное множество (сплошная кривая) представляет собой проекцию критического множества на плоскость  $\alpha\beta$ . Точкам полукубической параболы отвечают двукратные стационарные состояния динамической системы, острию – трехкратные (ему соответствует симметричное решение системы (4) при  $P = P_{kp}$  и  $\theta = 0$ ).



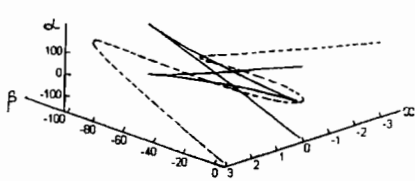
а



а



б



б

Рис. 1

Рис. 2

Смена устойчивости симметричного решения может произойти только при изменении знака  $\gamma$  (величина  $\gamma$  отличается от  $g_3$  постоянным множителем). Действительно, разрешим уравнение  $f_1(x_1, x_2) = 0$  относительно  $x_1$  и подставим найденное решение в уравнение  $f_2(x_1, x_2) = 0$ , удерживая лишь члены до третьего порядка. Получим

$$\gamma = \frac{1}{a_{12}^4} [a_{12}^3 (a_{12} a_{111}^{(2)} - a_{22} a_{111}^{(1)}) + 3a_{11} a_{12}^2 (a_{22} a_{112}^{(1)} - a_{12} a_{112}^{(2)}) + 3a_{11}^2 a_{12} (a_{12} a_{122}^{(2)} - a_{22} a_{122}^{(1)}) + a_{11}^3 (a_{22} a_{222}^{(1)} - a_{12} a_{222}^{(2)})], \quad \beta = a_{21} - \frac{a_{11} a_{22}}{a_{12}}.$$

Если в выражение  $\gamma$  подставить  $a_{22} = a_{12} a_{21} / a_{11}$ , справедливое в критическом случае, получим с точностью до постоянного множителя выражение для  $g_3$ :

$$\gamma_{kp} = -\frac{\Delta}{a_{11} a_{12}^3} = -\frac{g_3}{a_{11}} \left( a_{21} + \frac{a_{11}^2}{a_{12}} \right)^3.$$

Анализ случая, когда  $\gamma$  меняет знак, требует учета членов пятого порядка. Вместо (8) получим

$$x_2^5 + \gamma x_2^3 + \beta x_2 + \alpha = 0.$$

В параметрической форме поверхность катастроф и ее критическое множество определяются соответственно системами

$$x_2 = x_2, \quad \beta = \beta, \quad \alpha = -(x_2^5 + \gamma x_2^3 + \beta x_2);$$

$$x_2 = x_2, \quad \beta = -5x_2^4 - 3\gamma x_2^2, \quad \alpha = 4x_2^5 + 2\gamma x_2^3.$$

Рис.2 иллюстрирует изменения, происходящие на поверхности равновесных состояний при прохождении параметра  $\gamma$  через нуль: со сборкой в начале координат сливаются (или рождаются в ней) еще две. Бифуркационное множество (сплошная кривая на рис. 2, б) разбивает плоскость параметров на области с 5,3 и 1 стационарными режимами. Значения параметров, при которых сборка переходит в двойственную ей, должны совпадать с теми, при которых имеет место пятиточечное касание кривых (7) в нуле, т.е.  $F_1'''(0) = F_2'''(0)$  (смена устойчивости трехкратной особой точки через реализацию особенности "бабочка"). На рис. 3, а изображено ее бифуркационное множество, а на рис. 3, б – его сечение плоскостью  $\alpha\beta$  при  $\gamma < \gamma_{kp}$ . Представленная ситуация предшествует реализации пятикратной особой точки ( $\gamma = \gamma_{kp}$ ). При  $\gamma > \gamma_{kp}$  это сечение становится полукубической параболой, ветви которой получают зеркальным отражением относительно оси  $\alpha$ , т.е. поверхность сборки в окрестности симметричного решения выворачивается в двойственную ей.

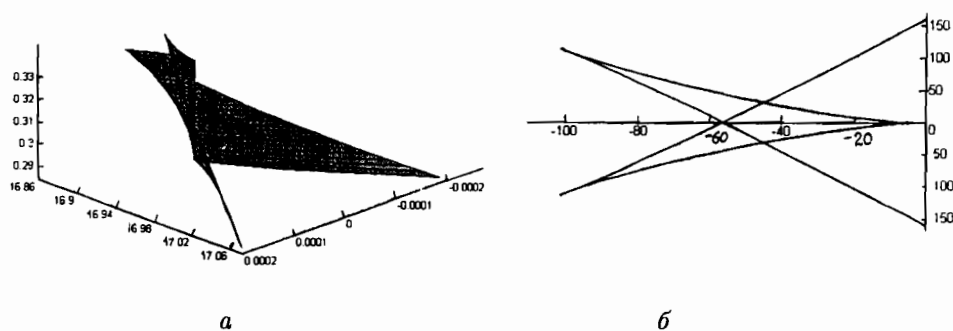


Рис. 3

В общем случае анализ максимально возможного порядка касания кривых (7) ( $F_1^{(m)}(0) = F_2^{(m)}(0)$ ) указывает на число существенных параметров и порядок нелинейных членов разложения, влияющих на особенности поверхности равновесных состояний.

**Флаттерные бифуркации. Аналитическое нахождение предельных циклов.** Пусть собственные значения матрицы  $A$  при изменении параметра  $P$  меняются следующим образом:  $\lambda_{1,2} = \varepsilon \pm i\omega$ ;  $\lambda_3 < 0, \dots, \lambda_s < 0$ ;  $\lambda_{s+1} = \chi_1 + i\omega_1$ ,  $\lambda_{s+2} = \chi_1 - i\omega_1, \dots, \lambda_{n-1} = \chi_q + i\omega_q$ ,  $\lambda_n = \chi_q - i\omega_q$ , причем  $q = (n - s)/2$ ,  $\chi_1 < 0, \dots, \chi_q < 0$ ,  $P > P_{kp} \implies \varepsilon > 0$ . Линейным преобразованием  $x_j = \sum_{s=1}^n \alpha_{js} \xi_s$  сведем систему (3) к виду

$$\dot{\xi}_1 = \varepsilon \xi_1 - \omega \xi_2 + \sum_{k=1}^n \sum_{l=1}^n \sum_{m=1}^n A_{klm}^{(1)} \xi_k \xi_l \xi_m + o(|\xi|^3),$$

$$\dot{\xi}_2 = \omega \xi_1 + \varepsilon \xi_2 + \sum_{k=1}^n \sum_{l=1}^n \sum_{m=1}^n A_{klm}^{(2)} \xi_k \xi_l \xi_m + o(|\xi|^3),$$

$$\begin{aligned}
\dot{\xi}_\nu &= \lambda_\nu \xi_\nu + \sum_{k=1}^n \sum_{l=1}^n \sum_{m=1}^n A_{klm}^{(\nu)} \xi_k \xi_l \xi_m + o(|\xi|^3) \quad (\nu = 3, \dots, s), \\
\dot{\xi}_{s+1} &= \chi_1 \xi_{s+1} - \omega_1 \xi_{s+2} + \sum_{k=1}^n \sum_{l=1}^n \sum_{m=1}^n A_{klm}^{(s+1)} \xi_k \xi_l \xi_m + o(|\xi|^3), \\
\dot{\xi}_{s+2} &= \omega_1 \xi_{s+1} + \chi_1 \xi_{s+2} + \sum_{k=1}^n \sum_{l=1}^n \sum_{m=1}^n A_{klm}^{(s+2)} \xi_k \xi_l \xi_m + o(|\xi|^3), \\
&\dots \\
\dot{\xi}_{n-1} &= \chi_q \xi_{n-1} - \omega_q \xi_n + \sum_{k=1}^n \sum_{l=1}^n \sum_{m=1}^n A_{klm}^{(n-1)} \xi_k \xi_l \xi_m + o(|\xi|^3), \\
\dot{\xi}_n &= \omega_q \xi_{n-1} + \chi_q \xi_n + \sum_{k=1}^n \sum_{l=1}^n \sum_{m=1}^n A_{klm}^{(n)} \xi_k \xi_l \xi_m + o(|\xi|^3), \\
(A_{klm}^{(\sigma)} &= A_{kml}^{(\sigma)} = A_{mkl}^{(\sigma)} = \text{const}; \quad \sigma = 1, \dots, n).
\end{aligned}$$

Первый ненулевой ляпуновский коэффициент, решающий вопрос устойчивости нулевого решения системы (3) при  $P = P_{kp}$  (тогда  $\varepsilon = 0$ ,  $\lambda_{1,2} = \pm i\omega$ ), равен  $\alpha_3(P_{kp})$  [2], где

$$\alpha_3(P) = \frac{3\pi}{4\omega} (A_{111}^{(1)} + A_{122}^{(1)} + A_{122}^{(2)} + A_{222}^{(2)})$$

есть продолжение первого ненулевого ляпуновского коэффициента по параметру  $P$  [8].

При прохождении снизу вверх сплошного участка ( $\alpha_3 < 0$ ) кривой  $P = P_{kp}(c)$  на рис.4 происходит бифуркация рождения устойчивого предельного цикла  $\Gamma$ , тогда как при прохождении ее штрихового участка ( $\alpha_3 > 0$ ) происходит бифуркация аннигиляции неустойчивого предельного цикла  $\Gamma'$ . Способы приближенного аналитического описания кривых  $\Gamma$  и  $\Gamma'$  указаны в [8-10]. В первом приближении периодическое решение системы (9) имеет вид (для  $\varepsilon > 0$ )

$$\begin{aligned}
\xi_1 &= \xi_1' + \xi_1'', \quad \xi_2 = \xi_2' + \xi_2'', \quad \xi_\rho = \xi_\rho'' \quad (\rho = 3, \dots, n), \quad \xi_1' = \sqrt{\varepsilon} M_0 \cos \Omega t, \\
\xi_2' &= \sqrt{\varepsilon} M_0 \sin \Omega t, \quad \xi_k'' = \varepsilon \sqrt{\varepsilon} \zeta_k^{(1)}(\Omega t) \quad (k = 1, \dots, n), \quad M_0^2 = -\frac{2\pi}{\omega \alpha_3(P)}, \\
\Omega &= \omega \left( 1 - \frac{\varepsilon}{2\pi} Q M_0^2 \right) + \dots, \quad Q(P) = \frac{3\pi}{4\omega} (A_{112}^{(1)} + A_{222}^{(1)} - A_{111}^{(2)} - A_{122}^{(2)}).
\end{aligned} \tag{9}$$

**Приложение к задаче о двухзвенном маятнике со следящей силой на упруго заделанном верхнем конце.** Пусть массы материальных точек  $A_1(x_1, y_1)$  и  $A_2(x_2, y_2)$  равны  $m_1$  и  $m_2$  соответственно, а звенья  $OA_1$  и  $A_1A_2$  невесомые;  $c$ — жесткость горизонтальной пружины;  $c_1$  и  $c_2$ — жесткости спиральных пружин;  $\mu_1$ — коэффициент вязкости в нижнем шарнире, учитывающий действие внешнего трения;  $\mu_2$ — коэффициент вязкости в промежуточном шарнире  $A_1$ , отражающий влияние внутреннего трения в системе;  $OA_1 = l_1$ ,  $A_1A_2 = l_2$ . Дифференциальные уравнения движения маятника (рис.5) имеют вид :

$$\begin{aligned}
(m_1 + m_2)l_1^2 \ddot{\varphi}_1 + m_2 l_1 l_2 \ddot{\varphi}_2 \cos(\varphi_1 - \varphi_2) + m_2 l_1 l_2 \dot{\varphi}_2^2 \sin(\varphi_1 - \varphi_2) - \\
-(m_1 + m_2)gl_1 \sin \varphi_1 + c l_1 (l_1 \sin \varphi_1 + l_2 \sin \varphi_2) \cos \varphi_1 + P l_1 \sin(\varphi_2 - \varphi_1) + c_1 \varphi_1 +
\end{aligned}$$

$$+\mu_1\dot{\varphi}_1 + c_2(\varphi_1 - \varphi_2) + \mu_2(\dot{\varphi}_1 - \dot{\varphi}_2) = 0, \quad (10)$$

$$m_2 l_2^2 \ddot{\varphi}_2 + m_2 l_1 l_2 \ddot{\varphi}_1 \cos(\varphi_1 - \varphi_2) - m_2 l_1 l_2 \dot{\varphi}_1^2 \sin(\varphi_1 - \varphi_2) - m_2 g l_2 \sin \varphi_2 + \\ + c l_2 (l_1 \sin \varphi_1 + l_2 \sin \varphi_2) \cos \varphi_2 - c_2 (\varphi_1 - \varphi_2) - \mu_2 (\dot{\varphi}_1 - \dot{\varphi}_2) = 0.$$

Линеаризуя уравнения (10) в окрестности решения  $\varphi_1 = 0, \varphi_2 = 0, \dot{\varphi}_1 = 0, \dot{\varphi}_2 = 0$  и составляя характеристическое уравнение, находим, что границами области асимптотической устойчивости  $D(4, 0)$ , колебательной неустойчивости  $D(2, 2)$  и дивергентной неустойчивости  $D(3, 1)$  есть гиперболы  $P = P_{kp}(c)$  и  $P = P_0(c)$  (рис.4), где

$$P_{kp}(c) \equiv \frac{ac^2 + dc + q}{A_1 l_1 l_2 (h - bc)}, \quad P_0(c) \equiv \frac{A_{41}c + A_{40}}{l_1 l_2 [(l_1 + l_2)c - m_2 g]}.$$

Приведенное на рис.4 ( $n = 4$ ) расположение участков гипербол отвечает следующим числовым значениям параметров маятника:  $m_1 = 10\text{кг}$ ,  $m_2 = 5\text{кг}$ ,  $l_1 = l_2 = 0,5\text{м}$ ,  $c_1 = c_2 = 400\text{Нм}$ ,  $\mu_1 = \mu_2 = 10\text{Нмс}$ . При их изменении ориентация гипербол (а вместе с ней и конфигурация областей устойчивости и неустойчивости) может существенно измениться [3].

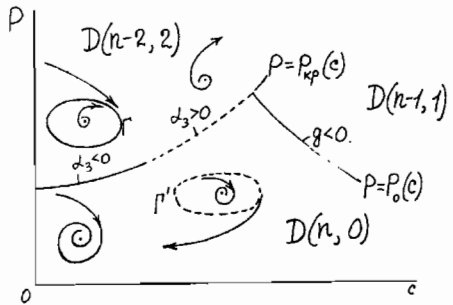


Рис. 4

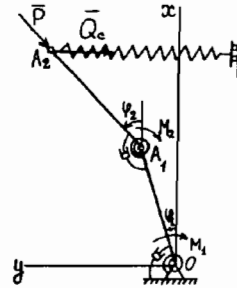
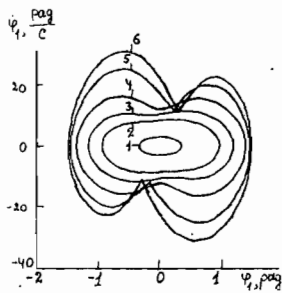
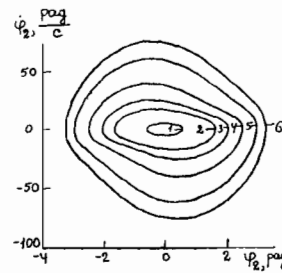


Рис. 5

Если  $0 \leq c \leq 211\text{Н/м}$ , то  $\alpha_3(P_{kp}) < 0$ , т.е. в области  $D(2, 2)$  существует устойчивый предельный цикл  $\Gamma$ , родившийся из устойчивого фокуса. Если же  $212\text{Н/м} < c < 776,4\text{Н/м}$ , то неустойчивый предельный цикл  $\Gamma$ , существующий в области  $D(4, 0)$  с увеличением  $P$  стягивается на кривой  $P = P_{kp}(c)$  в точку. Для приближенного аналитического описания кривых  $\Gamma$  и  $\Gamma'$  необходимо воспользоваться соотношениями (9), справедливыми при небольших значениях разности  $|P - P_{kp}(c)|$ .



а



б

Рис. 6

На значительном удалении от границы  $P = P_{kp}(c)$  конфигурация предельного цикла  $\Gamma$  может сильно отличаться от эллиптической. Об этом свидетельствуют кривые на

рис.6, построенные для  $c = 10\text{Н/м}$ ; кривые 1-6 отвечают значениям  $P = 1270, 1670, 2070, 3000, 5000$  и  $7000\text{ Н}$  соответственно.

При пересечении снизу вверх кривой  $P = P_0(c)$  (рис.4) в характеристическом уравнении появляется положительный корень. Поскольку первый ненулевой ляпуновский коэффициент  $g$ , вычисленный при  $P = P_0(c)$  на основании [7], отрицателен, то кривая  $P = P_0(c)$  является безопасной границей области устойчивости [2]. Согласно [5,6] в области  $D(3,1)$  имеются две устойчивые особые точки, притягивающие возмущенные траектории, т.е. происходит бифуркация типа вилки [7]:

$$\lim_{t \rightarrow +\infty} \varphi_1(t) = \varphi_1^*, \quad \lim_{t \rightarrow +\infty} \varphi_2(t) = \varphi_2^*.$$

Зависимости  $\varphi_1^*(P)$  и  $\varphi_2^*(P)$  для  $c = 900\text{Н/м}$  приведены в таблице.

$P, \text{ Н}$	$\varphi_1^*, \text{ рад}$	$\varphi_2^*, \text{ рад}$	$P, \text{ Н}$	$\varphi_1^*, \text{ рад}$	$\varphi_2^*, \text{ рад}$
2541	0,9138	0,3380	2557	1,1163	0,4666
2543	0,9526	0,3598	2560	1,1359	0,4813
2545	0,9911	0,3826	2562	1,1476	0,4903
2550	1,0568	0,4246	2565	1,1635	0,5030
2553	1,0853	0,4442			

При дальнейшем возрастании  $P > 2565\text{Н}$  по  $\varphi_1$  и  $\varphi_2$  происходят одночастотные колебания с небольшими амплитудами вокруг определенных значений. Амплитуды тем больше, чем больше  $P$ . При  $P \geq 2590\text{Н}$  устанавливаются многочастотные периодические режимы. При  $P \geq 2700\text{Н}$  опять устанавливаются (быстрее, чем раньше) одночастотные периодические режимы.

1. Арнольд В.И. Теория катастроф. – М.: Наука, 1990. – 128 с.
2. Баутин Н.Н. Поведение динамических систем вблизи границ области устойчивости. – М.: Наука, 1984. – 176 с.
3. Борук И.Г., Лобас Л.Г. Динамическое поведение стержня, стиснутого продольно силой // Сб. науч. тр. Киевского ин-та железнодорожного транспорта. – 1998. – 1, N2. – С. 105-111.
4. Брус Дж., Джиблин П. Кривые и особенности: Геометрическое введение в теорию особенностей. – М.: Мир, 1988. – 262с.
5. Вербицкий В.Г., Лобас Л.Г. Вещественные бифуркации двухзвенных систем с качением // Прикл. математика и механика. – 1996. – 60, вып.3. – С. 418-425.
6. Вербицкий В.Г., Лобас Л.Г. Вещественные бифуркации динамических систем с простейшей симметрией при изменении управляющих параметров // Проблемы управления и информатики. – 1995. – N 6. – С. 47-62.
7. Лобас Л.Г. Нелинейная устойчивость и бифуркации типа вилки в динамических системах с простейшей симметрией // Прикл. математика и механика. – 1996. – 60, вып.2. – С. 327-332.
8. Лобас Л.Г. Инвариантные многообразия и поведение динамических систем с симметрией вблизи границы области устойчивости // Прикл. механика. – 1996. – 32, N 5. – С. 81-88.
9. Лобас Л.Г. О существовании периодических движений динамических систем с простейшей симметрией // Там же. – 1997. – 33, N 1. – С. 87- 96.
10. Лобас Л.Г. О бифуркации рождения цикла из фокуса в динамических системах с простейшей симметрией // Там же. – 1997. – 33, N 2. – С. 80 - 88.
11. Ляпунов А.М. Собр. соч.: В 3 т. – М.-Л.: Изд-во АН СССР, 1956. – Т.2. – 473 с.
12. М.Холоднюк, А. Клич, М. Кубичек, М. Марек Методы анализа нелинейных динамических моделей – М.: Мир, 1991. – 367с.